

# Temperaturabhängigkeit der Reaktion des NO<sub>3</sub>-Radikals gegenüber para-substituierten Phenolen in wässriger Lösung

## Motivation und Hintergrund

### Radikalchemie in der wässrigen Phase der Troposphäre

- Nächtliche Oxidation von organischen Verbindungen (z.B. Phenole) durch NO<sub>3</sub>

### Substituierte Phenole in der Troposphäre

- Primäre Quellen: Emissionen aus Verbrennungsprozessen
- Sekundäre Quellen: Bildung durch Oxidation von Benzolderivaten
- Toxische und phytotoxische Verbindungen
- Auftreten in Regen, Wolken und Nebel

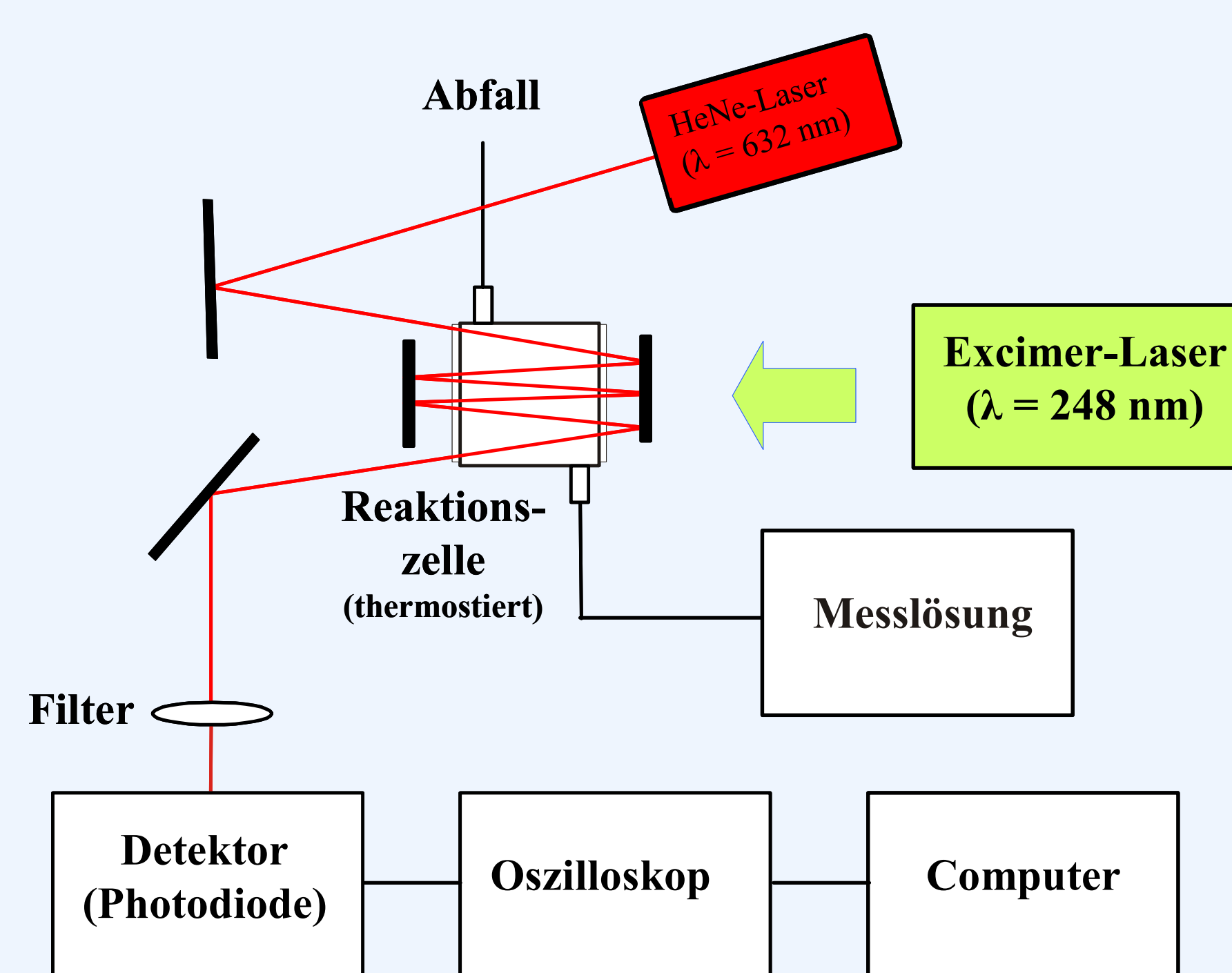
### Reaktionen von Phenolen mit NO<sub>3</sub>-Radikalen

- Konkurrenzende Reaktionsmechanismen

### Ziel dieser Studie

- Kinetische und thermodynamische Daten für troposphärische chemische Modellierung bereitstellen
- Reaktivitätskorrelationen → Informationen über die verschiedenen stattfindenden Reaktionsmechanismen

## Experimentelle Methoden



### NO<sub>3</sub>-Radikal-Erzeugung

- Laser-Photolyse von Nitrat anionen bei einer Wellenlänge von λ = 248 nm und pH = 0,5 (HClO<sub>4</sub>)  
 $\text{NO}_3^- + \text{hv} + \text{H}^+ \longrightarrow \text{NO}_2 + \text{OH}$
- Reaktion von OH mit undissoziierter HNO<sub>3</sub> bildet NO<sub>3</sub>  
 $\text{HNO}_3 + \text{OH} \longrightarrow \text{NO}_3 + \text{H}_2\text{O}$

### Kinetische Untersuchungen

- Reaktion von NO<sub>3</sub> mit phenolischem Reaktand unter Bedingung pseudo erster Ordnung
- Messung des zeitlichen Abfalls der NO<sub>3</sub> Konzentration mit He-Ne Laser bei NO<sub>3</sub> Absorptions-Maximum (Wellenlänge λ = 632 nm)
- Bestimmung von Geschwindigkeitskonstanten zweiter Ordnung zwischen 278 und 318 K

Abb. 1: Experimenteller Messaufbau: Laser-Photolyse-Laser-Lang-Weg Absorptions- (LP-LPA) Apparatur

## Kinetische und thermodynamische Ergebnisse und Reaktivitätsdiskussion

Tab. 1: Aktivierungsenergie (E<sub>A</sub>), Aktivierungsentropie (ΔS<sup>‡</sup>), freie Aktivierungsenthalpie (ΔG<sup>‡</sup>), gemessene Geschwindigkeitskonstanten bei 298K (k<sub>obs</sub>), Bindungsdissoziationsenergien (BDE) der am leichtesten abspaltbaren H-Atome, berechnete theoretische Geschwindigkeitskonstante einer reinen H-Abstraktion (k<sub>H calc</sub>), Verhältnis von k<sub>H calc</sub> zu k<sub>obs</sub>

Verbindung	E <sub>A</sub> [kJ mol <sup>-1</sup> ]	ΔS <sup>‡</sup> [J K <sup>-1</sup> mol <sup>-1</sup> ]	ΔG <sup>‡</sup> [kJ mol <sup>-1</sup> ]	k <sub>obs, 298</sub> [M <sup>-1</sup> s <sup>-1</sup> ]	BDE <sup>a</sup> [kJ mol <sup>-1</sup> ]	Bindung	k <sub>H calc</sub> <sup>b</sup> [M <sup>-1</sup> s <sup>-1</sup> ]	k <sub>H calc</sub> /k <sub>obs</sub> [%]
4-Nitrophenol	14,0 ± 2,5	-(31,1 ± 1,2)	20,7 ± 4,6	(1,4 ± 0,4) · 10 <sup>9</sup>	396,3	O-H	1,62 · 10 <sup>5</sup>	0,01
4-Hydroxybenzoësäure	13,2 ± 2,5	-(32,9 ± 1,2)	20,5 ± 4,6	(1,6 ± 0,5) · 10 <sup>9</sup>	360 <sup>[3]</sup>	O-H	1,82 · 10 <sup>8</sup>	11,3
4-Methylphenol	5,8 ± 2,0	-(56,9 ± 1,9)	20,3 ± 7,5	(1,7 ± 0,3) · 10 <sup>9</sup>	363,3	O-H	9,61 · 10 <sup>7</sup>	5,8
					357 <sup>[4]</sup>	CH <sub>2</sub> -H	9,75 · 10 <sup>8</sup>	58,8
4-Aminophenol	9,8 ± 3,2	-(42,2 ± 2,1)	19,9 ± 7,4	(2,0 ± 0,3) · 10 <sup>9</sup>	331,3	O-H	4,69 · 10 <sup>10</sup>	> 100
4-Methoxyphenol	14,6 ± 5,0	-(24,3 ± 1,8)	19,4 ± 8,1	(2,8 ± 0,5) · 10 <sup>9</sup>	349,3	O-H	1,44 · 10 <sup>9</sup>	51,3

<sup>a</sup> phenolische BDE aus [2], <sup>b</sup> berechnet mit Korrelation lg k<sub>H</sub> ~ BDE aus [1], zu sehen in Abb. 4

- Substituierte Phenole besitzen unterschiedliche Geschwindigkeitskonstanten k<sub>obs</sub> in der Größenordnung 10<sup>9</sup> M<sup>-1</sup>s<sup>-1</sup>

### Sind die unterschiedlichen k<sub>obs</sub> verschiedenen Reaktionsmechanismen zuzuschreiben?

- Vergleich von E<sub>A</sub> und ΔS<sup>‡</sup> mit k<sub>obs</sub> erklärt weder unterschiedliche k<sub>obs</sub> oder weist auf einen bestimmten Mechanismus hin
- Negative ΔS<sup>‡</sup> bei allen gemessenen Phenolen → Ordnungsgrad des aktivierten Komplexes höher als der der Reaktanden
- Je höher k<sub>obs</sub>, desto geringer die freie Aktivierungsenthalpie (ΔG<sup>‡</sup>)
- Anwendung von Reaktivitätskorrelationen, um mehr über den Beitrag der verschiedenen Reaktionsmechanismen herauszufinden

### Sind die gemessenen E<sub>A</sub> und k<sub>obs</sub> abhängig von der H-Atom Bindungsdissoziationsenergie (BDE)?

→ Hinweis auf Beitrag einer H-Atomabstraktion!

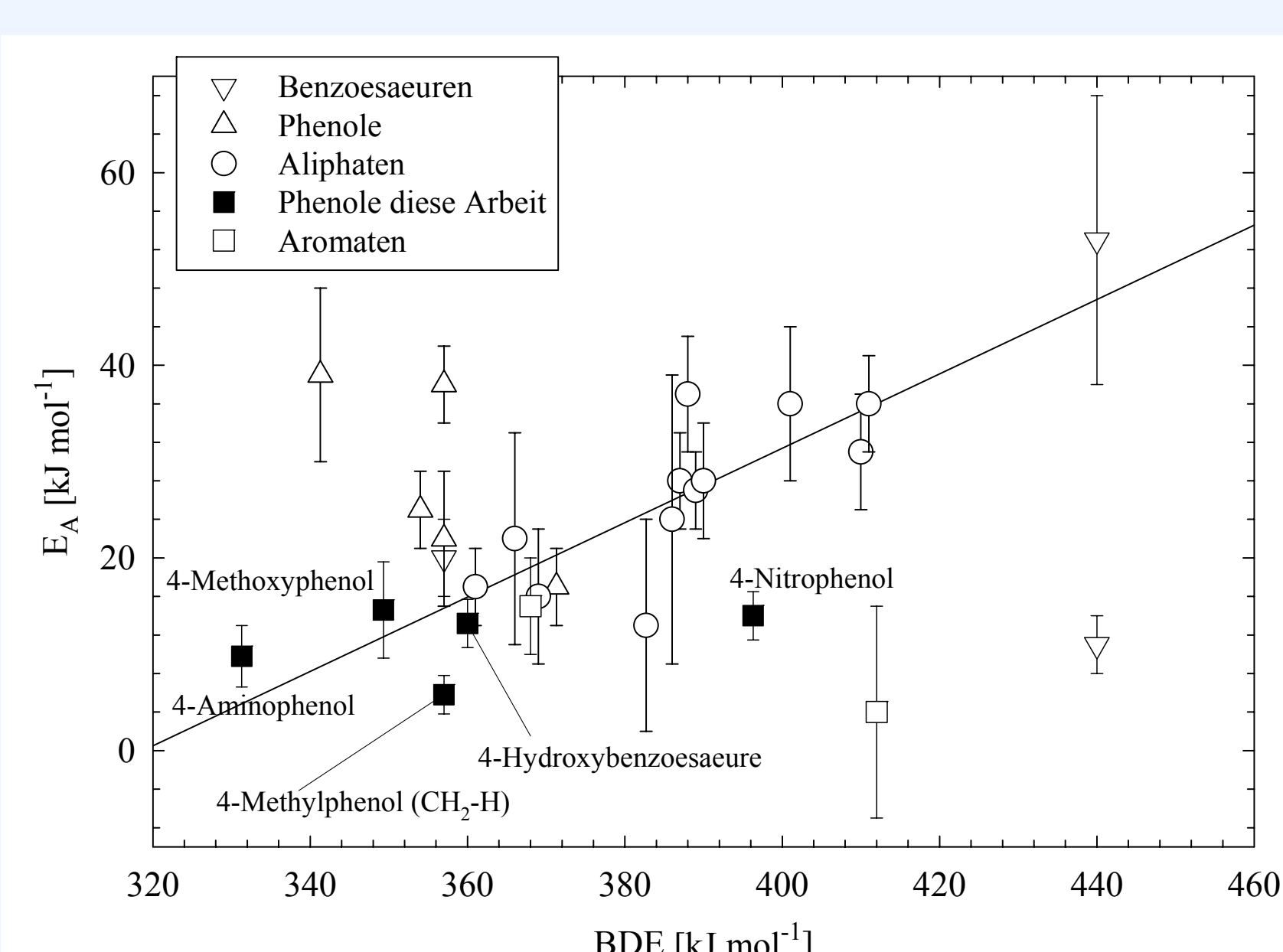


Abb. 3: Gemessene E<sub>A</sub> und Literaturwerte [1,3,5, 6,7] als Funktion der BDE

- Gemessene Phenole besitzen niedrigste E<sub>A</sub> im Vergleich zu anderen aromatischen und aliphatischen Verbindungen
- Regressionsgerade nur für H-Abstraktionsreaktionen der Aliphaten:  
 $E_A [\text{kJ mol}^{-1}] = (0,39 \pm 0,2) \cdot \text{BDE} [\text{kJ mol}^{-1}] - (123 \pm 86)$   
mit n = 12; R = 0,75
- 4-Methoxy-, 4-Amino-, 4-Methylphenol, 4-Hydroxybenzoësäure befinden sich nahe der Regressionsgeraden in Abb. 3 und 4  
→ Möglichkeit eines Beitrages der H-Abstraktion
- E<sub>A</sub> und lg k<sub>H</sub> von 4-Nitrophenol scheinen unabhängig von der BDE (Abb. 3 und 4) → Beitrag einer H-Abstraktion unwahrscheinlich

Abb. 4: Logarithmus von k<sub>obs</sub> und Literaturwerten [1,7] bei 298 K pro abspaltbares H-Atom lg(k<sub>H</sub>) als Funktion der BDE

- Höchste gemessene k<sub>obs</sub> der Phenole im Vergleich mit anderen Verbindungsklassen
- Regressionsgerade nur für H-Abstraktionsreaktionen aliphatischer und zyklischer Verbindungen [1]:  
 $\lg(k_H) = (38,5 \pm 5,6) - (0,084 \pm 0,014) \cdot \text{BDE} [\text{kJ mol}^{-1}]$   
mit n = 37; R = 0,89

mit n = 37; R = 0,89